

九州大学工学部 正会員 佐坂 熊
学生員 ○小川重憲明

1. 緒言

最近、プレキャストPC単純桁を橋脚上で連結する形式の橋梁が建設されている。連結部に於けるPC単純桁は、両桁端を連結用場所カウンタートの施工に必要な隙間を考慮して配置され、支承にはゴム板が用いられる。架設当初、死荷重およびプレストレスは単純桁として主桁に作用するが、施工後は連結部となりコンクリートのクリープによるクリープ变形と支点上の回転拘束が拘束され、2次不静定モーメントが発生する。現在の設計では、同一橋脚上に2組のゴム支承を1個の剛支承に置換して計算が行われているが、本論では、ゴム支承をHookeの法則へ従う弾性支承と考え、その弹性変形を考慮した2次不静定モーメントの解析を行った。

2. 微分方程式

クリープによる2次モーメントの計算を開始する時を時間tの基準とする。図-1のとく、プレキャストPC桁のスペンドル、中間橋脚上の支承間隔を各々5倍間連続橋とし、支点番号0, 1, 2, ..., 5を付す。プレキャスト部の曲げ剛性とクリープ係数をそれぞれ EI_0, α_0 、場所打ち部のそれらを $EI_i, \alpha_i(i)$ (i は定数)とし、クリープは慣用のWhitneyの法則を仮定する。支点iの弾性支承のばね定数を、端支点のおよび5で $k_i = k$ 、中間の支点で $k_i = mR$ (m は定数)とする。

計算開始時刻 $t=0$ では、この構造の不静定力は零であるが、後進時刻 t では、支点iの $X_{it}(i=1, 2, 3, 4)$ の2次不静定力が生ずる。いま、図-1の4次不静定連続橋の中間支点1, 2, 3, 4, 5にヒンジを挿入した静定基本系において、支点iに単位モーメントを作用させた場合の曲げモーメントを M_i 、支点iの反力を R_{ri} とする。微小時間 dt におけるクリープ係数の微小変化 $d\alpha$ が t と中間支点1, 2の相対たわみ $\Delta\theta_1, \Delta\theta_2$ とそれぞれ次式で表わされる。

$$\Delta\theta_1 = \overline{\delta_{11}} dX_{1t} + \overline{\delta_{21}} dX_{2t} + \overline{\delta_{31}} dX_{3t} + X_{1t} (\delta_{11}^L + \alpha \delta_{11}^U) d\alpha + X_{2t} \delta_{12}^L d\alpha \\ + (\delta_{10}^L + \alpha \delta_{10}^U) d\alpha \quad (1)$$

$$\Delta\theta_2 = \overline{\delta_{21}} dX_{1t} + \overline{\delta_{31}} dX_{2t} + \overline{\delta_{41}} dX_{3t} + \overline{\delta_{51}} dX_{4t} + X_{1t} \delta_{21}^L d\alpha + X_{2t} (\delta_{22}^L + \alpha \delta_{22}^U) d\alpha \\ + X_{3t} \delta_{23}^L d\alpha + (\delta_{20}^L + \alpha \delta_{20}^U) d\alpha \quad (2)$$

$$\text{ここで } \delta_{ii}^L = \int_0^L \frac{M_i^2}{EI} dX, \quad \delta_{ii}^U = \int_0^L \frac{M_i M_o}{EI} dX, \quad \delta_{ii}^S = \sum_{j=i+1}^{i+4} \frac{R_{ji}^2}{k_j}, \quad \overline{\delta_{ii}} = \delta_{ii}^L + \delta_{ii}^U + \delta_{ii}^S \\ \delta_{i,i+1} = \delta_{i+1,i}^L = \sum_{j=i}^{i+4} \frac{R_{ji} R_{j+1,i}}{k_j}, \quad \delta_{i,i+1} = \overline{\delta_{i+1,i}} = \delta_{i,i+1}^L + \delta_{i,i+1}^U \\ \delta_{i,i+2}^S = \frac{R_{i+1,i} R_{i+2,i}}{k_{i+1}}, \quad \delta_{i,i}^L = \int_0^L \frac{M_i M_o}{EI} dX, \quad \delta_{i,i}^U = \int_0^L \frac{M_i M_o}{EI} dX$$

ただし、 M_o は連結部以前から作用している死荷重およびプレストレスによる静定基本系の曲げモーメント。
図-1の連結部は対称構造であるが、さうして簡単のため、プレストレスおよび死荷重を対称とすれば $X_{it} = X_{st}$,

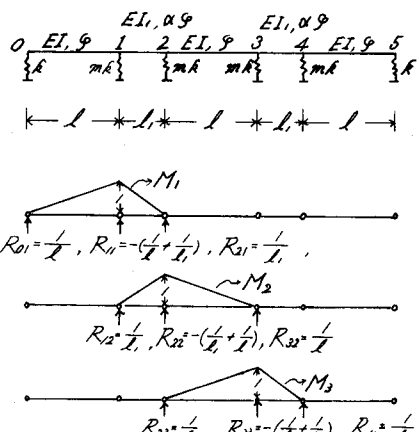


図-1

$X_{2t} = X_{ct}$ とす。又、 $\delta_{ii} + \alpha \delta_{ii}^* = \delta_{ii}'$ 、 $\delta_{i\alpha} + \alpha \delta_{i\alpha}^* = \delta_{i\alpha}'$ とおき、 $\delta_{ii} = \delta_{ii}$ 、 $\delta_{i\alpha} = \delta_{i\alpha}'$ ことを考慮すれば、次式の適合条件がつり $d\theta_1 = 0$ 、 $d\theta_2 = 0$ 、すなはち次の連立微分方程式が導かれる。

$$\left. \begin{aligned} \frac{\partial}{\partial \varphi} \frac{dX_{it}}{d\varphi} + (\bar{\delta}_{12} + \bar{\delta}_{22}^*) \frac{dX_{it}}{d\varphi} + \delta_{11}' X_{it} + \alpha \delta_{12} X_{2t} + \delta_{20}' = 0 \\ (\bar{\delta}_{12} + \bar{\delta}_{22}^*) \frac{dX_{it}}{d\varphi} + (\bar{\delta}_{22} + \bar{\delta}_{23}) \frac{dX_{it}}{d\varphi} + \alpha \delta_{12} X_{it} + (\delta_{11}' + \delta_{23}) X_{2t} + \delta_{20}' = 0 \end{aligned} \right\} \quad (3)$$

3. 2次不静定モーメントの解

式(3)の連立微分方程式は次の形に書き換えることができる。

$$\left. \begin{aligned} \frac{dX_{it}}{d\varphi} = \alpha_1 X_{it} + \beta_1 X_{2t} + C_1 \\ \frac{dX_{2t}}{d\varphi} = \alpha_2 X_{it} + \beta_2 X_{2t} + C_2 \end{aligned} \right\} \quad (4)$$

$$\text{となる } \alpha_1 = \{\alpha \delta_{12} (\bar{\delta}_{22} + \bar{\delta}_{23}^*) - \delta_{11}' (\bar{\delta}_{22} + \bar{\delta}_{23})\} / C, \quad \alpha_2 = \{\delta_{11}' (\bar{\delta}_{22} + \bar{\delta}_{23}^*) - \alpha \delta_{12} \delta_{20}\} / C$$

$$\beta_1 = \{(\delta_{11}' + \delta_{23}) (\bar{\delta}_{22} + \bar{\delta}_{23}^*) - \alpha \delta_{12} (\bar{\delta}_{22} + \bar{\delta}_{23})\} / C, \quad \beta_2 = \{\alpha \delta_{12} (\bar{\delta}_{22} + \bar{\delta}_{23}^*) - \bar{\delta}_{11} (\delta_{11}' + \delta_{23})\} / C$$

$$C_1 = \{(\bar{\delta}_{22} + \bar{\delta}_{23}^*) \delta_{20}' - (\bar{\delta}_{22} + \bar{\delta}_{23}) \delta_{20}\} / C, \quad C_2 = \{(\bar{\delta}_{22} + \bar{\delta}_{23}^*) \delta_{10}' - \bar{\delta}_{11} \delta_{20}'\} / C$$

$$C = \bar{\delta}_{11} (\bar{\delta}_{22} + \bar{\delta}_{23}) - (\bar{\delta}_{22} + \bar{\delta}_{23}^*)^2$$

式(4)の厳密解は次のようになります。

$$\left. \begin{aligned} X_{it} &= \frac{1}{\lambda_1 - \lambda_2} \left\{ \frac{\lambda_2 Q_1}{P_1} (1 - e^{B\varphi}) - \frac{\lambda_1 Q_2}{P_2} (1 - e^{B\varphi}) \right\} \\ X_{2t} &= \frac{1}{\lambda_1 - \lambda_2} \left\{ \frac{Q_2}{P_2} (1 - e^{B\varphi}) - \frac{Q_1}{P_1} (1 - e^{B\varphi}) \right\} \\ \lambda_1, \lambda_2 \} &= \frac{1}{2Q_3} \left\{ (Q_2 - Q_1) \pm \sqrt{(Q_2 - Q_1)^2 + 4Q_2 Q_1} \right\} \\ P_1 &= Q_1 + \lambda_1 Q_2, \quad Q_1 = C_1 + \lambda_1 C_2 \end{aligned} \right\} \quad (5)$$

4. 計算例

スパン l の 2 本のアレキヤスト PC 斜を連結した図-1 の対称構造について、死荷重およびプレストレスによるフリーアニアリモーメントをそれぞれ算定し、弾性支承のばね定数 m 、内部支承と端支承のばね定数化 m 、かねび内部支承の間隔 l の影響を吟味するとともに、同一橋脚上の 2 個の弾性支承を 1 個の剛支承へ置き換えた略算による結果と比較した。ただし、前の曲げ剛性 EI およびアニアリモーメントは全長でわたり一定とする。図-2 および図-3 は $l = \frac{1}{20} l$ 、 $g = 1.5$ の場合について、等分布死荷重 (q) およびアレキヤスト PC 斜の一様プレストレスモーメント ($-M_0$) による二次不静定モーメント X_{it} 、 X_{2t} が $B = Rl^3/EI$ の增加により変化する様子を、 m をパラメータとして 17 パンク m で示す。又、 $m = 2$ 、 $g = 1.5$ の場合につき、 B を $\frac{1}{40}$ から $\frac{1}{9}$ の範囲で変化させてプレストレスによる X_{it} 、 X_{2t} を求め、結果を表-1 まとめて示した。

表-1 プレストレスによる二次モーメント (単位 M_0)

B	0.025	0.050	0.075	0.100	0.125					
β	X_{it}	X_{2t}	X_{it}	X_{2t}	X_{it}	X_{2t}				
10	.844	.854	.816	.835	.791	.815	.767	.787	.745	.778
10^2	.897	.899	.879	.868	.867	.834	.860	.800	.854	.767
10^4	.942	.898	.978	.809	.991	.759	.984	.724	.869	.698
10^8	1.065	.787	1.073	.747	1.050	.720	1.023	.698	.985	.681
∞	1.128	.755	1.092	.734	1.059	.715	1.028	.696	.998	.679

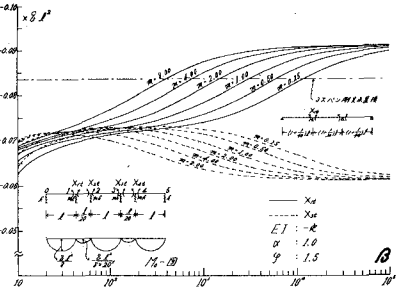


図-2 死荷重による二次モーメント

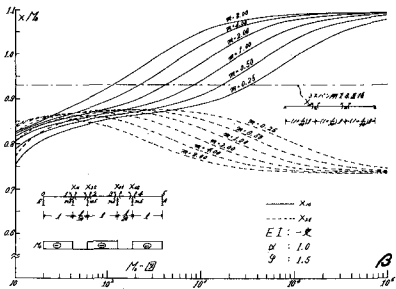


図-3 プレストレスによる二次モーメント

参考文献 1) 施工地: PCフレーテンション斜を連結構造として使用した大川の多避通橋の設計と施工について、プレストレスコンクリート、Vol.15, No.2, 昭和48年4月, 2) 日本道路協会: PC通路橋示方書解説 昭和43年3月